PERANCANGAN SISTEM KONTROL POSISI SUMBU AZIMUTH TURRET GUN MENGGUNAKAN KENDALI PID BERBASIS ARDUINO MEGA 2560

Moh.Rizal Ashari

S1 Teknik Elektro, Fakultas Teknik, Universitas Negeri Surabaya, Ketintang 60231, Indonesia e-mail: moh.ashari@mhs.unesa.ac.id

Puput Wanarti Rusimamto

Dosen Teknik Elektro, Fakultas Teknik, Universitas negeri Surabaya, Ketintang 60231, Indonesia e-mail: puputwanarti@unesa.ac.id

Abstrak

Pertahanan suatu negara merupakan bentuk upaya untuk mempertahankan kedaulatan dan merupakan bentuk dari bela negara. Hal ini telah tercantum dalam pada UU No. 3 tahun 2002 tentang petahanan negara. Salah satu bentuk pertahanan negara dalam bidang teknologi adalah *turret gun. Turret Gun* adalah senjata proyektil dengan mekanisme putar dalam orientasi *azimuth* dan elevasi yang memungkinkan senjata dapat ditembakkan ke segala arah. Platform ini dipasang pada kendaraan tempur atau sebuah bangunan. semakin besar kaliber yang digunakan maka semakin sulit *turret gun* dikendalikan. Maka pada penelitian ini meggunakan kontroler PID (Proporsional Integral Derevative) berbasis arduino mega 2560. Dengan tujuan untuk mempercepat respon kecepatan motor pada *turret gun* serta dapat mempresisikan posisi sumbu *azimuth* pada *turret gun*. Hasil penelitian menunjukkan bahwa dengan mengimplementasikan kendali PID pada *turret gun* dengan nilai Kp=24.66,Ki=62.58, dan Kd=4.537 dapat memperbaiki respon gerak turret dengan hasil analisis Ess=0,maksimal *overshoot* = 4.4%, t_d = 0.693 s,t_r = 2.197 s,t_s = 1.281 s.

Kata Kunci: Turret gun, Sumbu azimuth, PID (Proporsional Integral Derevative).

Abstract

The defense of a country is a form of an effort to defend the sovereignty and is a form of defending the country. This has been in Law No.3 of 2002 concerning state detention. One form of national defense in the field of technology id turret gun. Turret gun is projectile weapon with a swivel mechanism in azimuth and elevation orientation that allows weapons to be fired in all directions. This platform is installed on combat vehicles or building. The greater the caliber used, the harder the gun turret is controlled. Therefore in this study using the PID (Proportional, Integral, Derivative) controller based on Arduino Mega 2560. In order to speed up the motor speed response in the turret gun and be able to position the azimuth axis on the turret gun. The results showed that by implementing the PID control on the turret gun with a value of Kp = 24.66, Ki = 62.58, and Kd = 4.537 can improve the turret motion response with the Ess analysis results = 0, maximum overshoot = 4.4%, td = 0.693 s, tr = 2.197 s, ts = 1.281 s.

Keywords: Turret gun, azimuth axis, PID (Proportional, Integral, Derivative).

PENDAHULUAN

Pertahanan suatu negara merupakan segala bentuk upaya untuk mempertahankan kedaulatan dan merupakan bentuk dari bela negara. (*Wisnu,Danu dkk,2016*).

Hal ini telah tercantum pada UU No 3 tahun 2002 tentang pertahanan negara. Salah satu bentuk pertahanan negara dalam bidang teknologi adalah senjata militer. Semakin berkembangnya zaman, teknologi pada senjata

berkembang dan semakin canggih salah satunya adalah *Turret gun. Turret gun* adalah senjata proyektil dengan mekanisme putar dalam orientasi *azimuth* dan elevasi yang memungkinkan senjata dapat ditembakkan ke segala arah. *Platform* ini dapat dipasang pada kendaraan tempur atau sebuah bangunan. *Turret gun* dapat dipersenjatai oleh meriam,senjata kaliber,*machine gun* atau peluncuran rudal. (*Tamara,Moh.Nasyir dkk,2018*).

Sistem *turret gun* mempunyai 2 sumbu gerak, yaitu sumbu *azimuth* dan sumbu elevasi. Sumbu *azimuth* meliputi gerak rotasi *turret* sebesar 360° terhadap horizontalnya, sedangkan sumbu elevasi meliputi gerakrotasi laras senjata 70° terhadap vertikalnya. (*Kunto,Dimas,2016*).

Dalam penelitian kali ini yang menjadi fokus utama adalah perancangan kendali pada gerak sumbu *azimuth* pada *turret gun* dan bagaimana hasil respon dinamik dari *turret gun*. Salah satu aspek penting yang dikembangkan pada *turret gun* adalah ketepatan dan kecepatan dalam mencapai posisi atau target serta dapat menghasilkan respon dinamiknya. Karena semakin besar ukuran dari *turret gun* maka semakin sulit untuk dikendalikan. (*Tamara,Moh.Nasyir dkk,2018*).

Maka dari itu pada penelitian kali ini disarankan menggunakan kontroller PID (Proporsional Integral Derevative). Karena kontroler ini paling umum digunakan pada industri.

Adapun langkah-langkah dalam merancang pengendalian PID *turret gun* diawali dengan studi literatur serta serta studi lapangan mengenai mekanisme dan parameter-parameter yang terdapat pada *turret gun*. (*Kunto,Dimas,2016*).

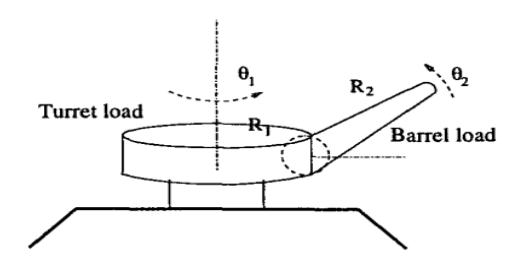
Langkah pertama dalam perancangan sistem kontrol adalah menentukan model matematis dari sistem *turret gun*. Berikutnya adalah merancang sistem kontrol yang sesuai dengan menggunakan kontrol PID. Selanjutnya diakhiri dengan pengujian kestabilan dari sistem yang telah dikontrol tersebut. Hasil yang didapat berupa nilai gain proporsional, integral dan derivatif dari metode tuning yang dipakai untuk merancang kontrol PID dari sistem *turret-gun*.(*Wisnu,Danu dkk,2016*).

KAJIAN TEORI

Pengertian Turret Gun

Turret gun adalah senjata proyektil dengan mekanisme putar dalam orientasi azimuth dan elevasi yang memungkinkan senjata ditembakkan ke berbagai arah. Platform ini dapat dipasang pada sebuah bangunan atau struktur kendaraan tempur. Turret gun dapat dipersenjatai dengan satu atau lebih senapan mesin, meriam otomatis, senjata kaliber besar, atau peluncur rudal. (Tamara, Moh. Nasyir dkk, 2018).

Sistem Kerja *Turret gun* memiliki 2 area yang bergerak yaitu base yang berputar (*turret*) dan laras (*gun*). Sistem kerja pada *turret gun* dapat ditunjukkan pada Gambar 1 dibawah ini.



Gambar 1. Sistem Kerja dan Design *Turret Gun* (Sumber: *Tamara,Moh.Nasyir dkk,2018*)

Dinamika Sistem

Mayoritas pekerjaan ini dikonsentrasikan pada stabilitas gerakan *turret* dan penolakan gangguan baik yang muncul dari dinamika struktur mekanik, friksi yang timbul dari komponen-komponen yang bergerak, dan *uncertainty* dari medan tempur. Selain itu faktor vibrasi juga menjadi parameter yang perlu dipertimbangkan karena gangguan jenis ini akan berulang-ulang terjadi pada sistem dengan frekuensi dan amplitude terentu yang dapat mengurangi kestabilan dan performa sistem. Gangguan-gangguan tersebut memberi efek perancangan kontroler *turret* menjadi lebih kompleks. (*Tamara,Moh. Nasyir dkk,2018*).

Dari Gambar 1 maka Persamaan sistem dinamik dari turret gun dapat dituliskan sebagai berikut

$$T_{turret} = D(\theta)\ddot{\theta} + C(\theta,\dot{\theta})\theta + G(\theta)$$
 (1)

Dimana

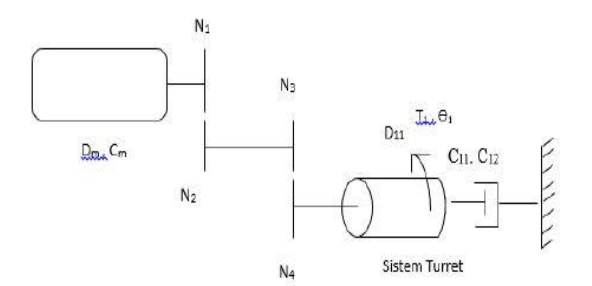
$$D(\theta) = \begin{pmatrix} D_{11} & 0 \\ 0 & D_{22} \end{pmatrix}$$
 (2)

$$C(\theta, \dot{\theta}) = \begin{pmatrix} C_{11} & C_{12} \\ C_{21} & C_{22} \end{pmatrix} \tag{3}$$

Dimana $D(\theta)$ adalah inirsia sistem $C(\theta, \dot{\theta})$ adalah vektor coriolis dan efek torsi sentrifugal dan $G(\theta)$ adalah gravitasi. Maka didapat Persamaan sebagai berikut

$$\ddot{\theta_1} = \frac{T_{turret} - c_{11}\dot{\theta}_1 - c_{12}\dot{\theta}_2}{D_{22}} \tag{4}$$

Input dari sistem dinamik berupa posisi sudut $turret(\theta_1)$, Kecepatan putar $turret(\dot{\theta}_1)$, dan percepatan sudut $turret(\ddot{\theta}_1)$, serta posisi gun (θ_2) , dan kecepatan putar gun $(\ddot{\theta}_2)$. Dimana $\ddot{\theta}_1$ digunakan pada sistem azimuth turret gun dan $\ddot{\theta}_2$ digunakan untuk sistem elevasi turret gun. (Mushonnifah dkk,2015).



Gambar 2. Ilustrasi Rangkaian motor transmisi dan *turret* (Sumber: *Wisnu,Danu dkk,2016*)

Dari Persamaan 4 diatas dan Gambar 2 diatas maka dapat disimpulkan Persamaannya sebagai berikut.

$$\dot{\theta_1} = \frac{K_t E_a N - \left[\left((R_a m_2 R_1 R_2 \sin(\theta_2)) + R_a \frac{1}{3} m_2 R_2^2 \sin(2\theta_2) \right) \dot{\theta_2} - N K_t K_b \right] \theta_1}{R_a \left(\frac{1}{2} m_1 R_1^2 + m_2 R_1^2 + m_2 R_1 R_2 \cos(\theta_2) \frac{1}{3} m_2 R_2^2 \cos^2(\theta_2) \right)}$$
(5)

Dari Persamaan 6 selanjutnya dilinearisasikan menggunakan metode *jocobian* menghasilkan matriks Persamaan sebagai berikut.

$$A = \begin{pmatrix} 0 & 1 \\ 0 & \frac{NK_{t}K_{b}}{R_{a}(\frac{1}{2}m_{1}R_{1}^{2} + m_{2}R_{1}^{2} + m_{2}R_{1}R_{2}\cos(\theta_{2})\frac{1}{3}m_{2}R_{2}^{2}\cos^{2}(\theta_{2}))} \end{pmatrix}$$

$$B = \begin{pmatrix} 0 & 0 & 0 \\ \frac{NK_{t}E_{a}}{R_{a}(\frac{1}{2}m_{1}R_{1}^{2} + m_{2}R_{1}^{2} + m_{2}R_{1}R_{2}\cos(\theta_{2})\frac{1}{3}m_{2}R_{2}^{2}\cos^{2}(\theta_{2}))} \end{pmatrix}$$

$$C = (1\ 0)$$

$$D = (0) \qquad (6)$$

Persamaan diatas merupakan model *State-Space* $\dot{x} = Ax + Bu$ dan y = Cx + Du yang didapat dari metode *Jocobian*.

$$\begin{bmatrix} \dot{x}_{1} \\ \dot{x}_{2} \end{bmatrix} = \begin{bmatrix} 0 & 1 & \\ 0 & \frac{NK_{t}K_{b}}{R_{a}(\frac{1}{2}m_{1}R_{1}^{2} + m_{2}R_{1}^{2} + m_{2}R_{1}R_{2}\cos(\theta_{2})\frac{1}{3}m_{2}R_{2}^{2}\cos^{2}(\theta_{2}))} \end{bmatrix} \begin{bmatrix} x_{1} \\ x_{2} \end{bmatrix} + \begin{bmatrix} 0 & \\ \frac{NK_{t}E_{a}}{R_{a}(\frac{1}{2}m_{1}R_{1}^{2} + m_{2}R_{1}^{2} + m_{2}R_{1}R_{2}\cos(\theta_{2})\frac{1}{3}m_{2}R_{2}^{2}\cos^{2}(\theta_{2}))} \end{bmatrix} E_{a}(t)$$

$$[y] = \begin{bmatrix} 1 & 0 \end{bmatrix} \begin{bmatrix} x_{1} \\ x_{2} \end{bmatrix}$$
(7)

Keterangan

 $\begin{array}{ll} D_{22} & = Inersia \, Sistem \, \textit{Turret} \\ C_{11} & = \, Konstanta \, Damping \, Sistem \\ C_{12} & = \, Efek \, Koriolis \, \textit{gun} \, dengan \, \textit{turret} \end{array}$

 T_{turret} = Torsi Sistem Azimuth

 θ_1 = Perubahan Kecepatan Sistem *Azimuth* θ_2 = Perubahan Kecepatan Sistem Elevasi $\ddot{\theta_1}$ = Perubahan Kecepatan Sistem *Azimuth*

 m_1 = Massa turret

 m_2 =Massa Gun

 R_1 =Radius turret

 R_2 =Panjang Gun

N = Perbandingan Gear/Rasio Transmisi

R_a = Resistansi Motor

 E_a = Tegangan motor

 $K_b = Back EMF$

 K_t = Konstanta Motor DC

A = Matriks *State* B = Matriks Input

C = Matriks Output

D = Mariks Transmisi langsung

x = Input

y = Output

 $\dot{x_1}$ = Posisi sumbu *turret*

 $\dot{x_2}$ = Kecepatan sumbu *turret*

u = feedback

Metode Tuning Chien-Hrones-Reswick

Metode *Chien - Hrones- Reswick* (CHR) menekankan regulasi setpoint atau penolakan gangguan, selain Spesifikasi-spesifikasi pada kecepatan tanggapan dan overshoot yang juga diakomodasi. Dibandingkan dengan metode tuning *Zegler – Nichols*, metode CHR menggunakan konstanta waktu secara eksplisit.

Formula tuning kontroler PID CHR terdapat 2 model plant yaitu dengan 0% *overshoot* dan 20% *overshoot*. Berikut merupakan Tabel formula dari tuning CHR

Tabel 1. Tabel Tuning Chien-Hrones-Reswick (CHR)
Pengaturan Setpoint

Jenis Kontrolei	ov	Dengan 0% overshoot		Dengan 20% overshoot		
	$\mathbf{K}_{\mathbf{p}}$	Ti	Td	$\mathbf{K}_{\mathbf{p}}$	Ti	Td
egeri	0,3/a	npa	ya	0,7/a	-	-
PI	0,35/a	1,2L	-	0,6/a	T	-
PID	0,6/a	T	0,5L	0,95/a	1,4T	0,47L

(Sumber: Andi Publisher, 2019)

METODE PENELITIAN

Pendekatan Penelitian

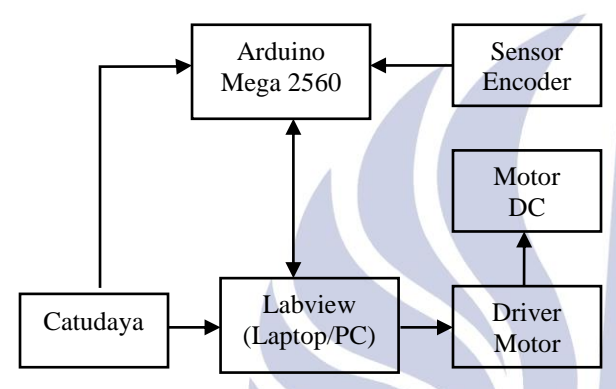
Pada penelitian ini, pendekatan penelitian yang digunakan adalah penelitian kuantitatif. Kasiram (2008:149) dalam bukunya Metodologi Penelitian Kualitatif dan Kuantitatif, mendifinisikan penelitian kuantitatif adalah suatu proses menemukan pengetahuan

yang menggunakan data berupa angka sebagai alat menganalisis keterangan mengenai apa yang ingin diketahui.

Pada penelitian ini menggunakan software LabVIEW 2014 dan Arduino IDE 1.8.5. Software LabVIEW akan digunakan untuk melihat hasil respon dari Turret Gun, mendesain kontrolernya, yaitu kontroler PID (Proporsional Integral Derivative) dengan tuning CHR Sedangkan software Arduino IDE digunakan untuk memprogram hardware plant.

Rancang Bangun Hardware

Desain sistem kontrol sumbu *azimuth turret gun*. Ditunjukan pada Gambar 3.



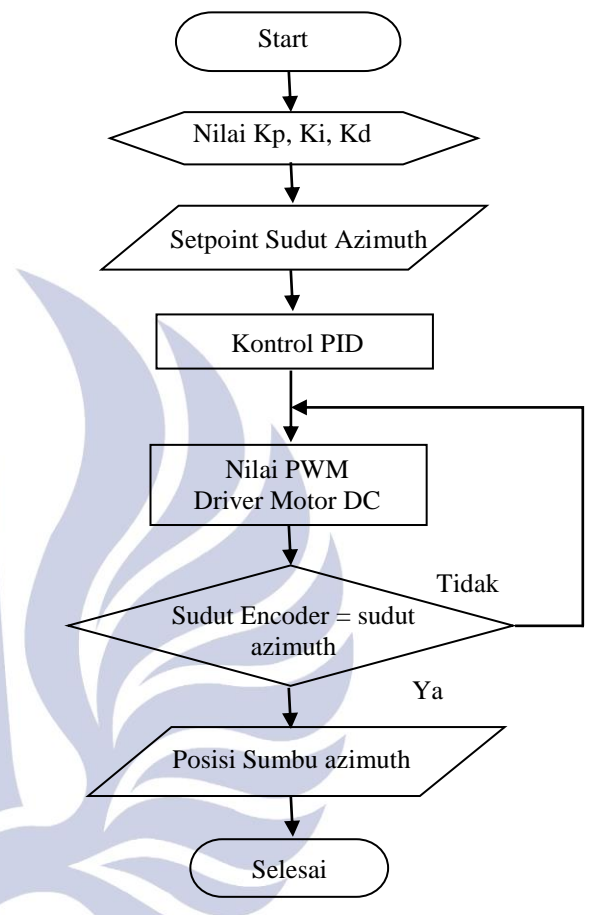
Gambar 3. Model Desain Sistem Pengendali

Pada blok diagram diatas terdiri dari catudaya ,Arduino, Sensor Encoder dan motor DC. Catudaya digunakan untuk sumber tegangan sebesar 220VAC dan 12 VDC. Sensor Encoder digunakan membaca sudut putaran pada motor. Sehingga dapat mengetahui seberapa banyak putaran kah motor telah berputar sampai pada titik sudut yang telah ditentukan. Hasil pembacaan sensor akan dikirimkan ke Arduino. Dimana arduino ini sebagai piranti penghubung yang akan diteruskan ke leptop atau PC. Selanjutnya PC berfungsi sebagai otak memberikan perintah bahwa turret gun diperintahkan untuk berputar sampai sudut tertentu. Motor DC berfungsi sebagai memposisikan turret sesuai dengan setpoint yang telah ditentukan. Dimana motor DC ini akan berputar 180 derajat sesuai setpoint yang telah ditentukan.

Rancang Bangun Software

Pada Perancangan *Software* ini Pertama,nilai dari kontroler PID diinisialisasikan terlebih dahulu. Nilai *setpoint* sudut azimut pada turret gun akan dimasukkan secara manual sebagai pergerakan posisi motor dc. Setelah mendapatkan setpoint sudut, maka motor dc akan bergerak secara cepat mengikuti *setpoint* sudut yang telah ditentukan. Setiap pergerakkan motor dc, sensor akan membaca nilai sudut yang nantinya akan dibandingkan

dengan *setpoint*. Jika sudut pembacaan dari motor dc sama dengan setpoint maka motor dc tidak akan bergerak. Namun apabila nilai dari sudut motor dc belum sama dengan dengan *setpoint* maka motor akan bergerak sampai *setpoint* sama dengan nilai sudut pergerakan motor dc.



Gambar 4. Flowchart Software

Rancangan Plant Turret Gun

Rancang bangun *plant turret gun* memiliki tinggi keseluruhan 34 cm. Dilengkapi dengan box kendali dengan panjang 30cm,lebar 25cm dan tinggi 11 cm. Dimana pada box terdapat saklar on off dan tombol reset. Diatas box kendali terdapat sebuah senapan yang panjang gunnya 22 cm dimana gun ini berfungsi sebagai sumbu *azimuth* yang akan digerakkan oleh motor DC.



Gambar 5. Desain Plant Turret Gun

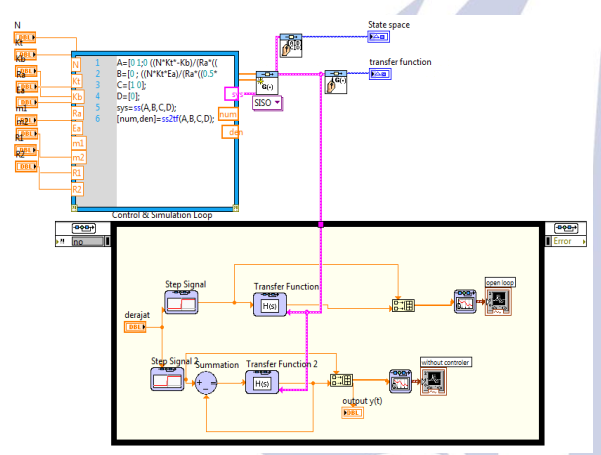
HASIL DAN PEMBAHASAN

Pengujian dan analisis meliputi ; 1) Pengujian Sistem Gerak Sumbu *Azimuth Turret Gun* 2)Pengujian Sistem dengan Kendali PID

Hasil Perancangan Software

Dalam perancangan *Software* ini digunakan untuk mencari fungsi alih dari *Turret Gun* dan mendapatkan hasil respon simulasi serta memonitoring hasil respon pergerakan posisi dari *Turret Gun* secara *real plant*. *Software* yang digunakan adalah LabVIEW 2014 dimana penentuan *setpoint* dari posisi sumbu *Azimuth Turret Gun* dapat dimasukkan melalui *Software* ini.

Berikut merupakan diagram VI dari penentuan fungsi alih serta hasil respon simulasi dari *Turret Gun*.



Gambar 6. Block Diagram VI pengujian respon simulasi

Berdasarkan *datasheet* dari motor DC yang digunakan dalam penelitian ini,didapatkan parameter-parameter fisik yang ditunjukkan pada Tabel 2 berikut.

Tabel 2. Parameter Fisik Plant

Paramter	Nilai		
Rasio perbandingan Transmisi (N)	1/2,5		
Tegangan Konstan (Kb)	2,117 V/Krpm		
Torsi Motor (Kt)	0,0134 Nm/A		
Resistansi Motor (Ra)	1,9 Ω		
Massa Turret (m1)	0,025 Kg		
Massa Gun (m2)	0,01 Kg		
Radius Turret (R1)	0,06 m		
Panjang Gun (R2)	0,22 m		

Dari Parameter Tabel 2. Dapat dicari nilai

$$N = 1/2.5 = 0.4$$

$$A = \begin{pmatrix} 0 & 1 \\ 0 & -15.9541 \end{pmatrix}$$

$$B = \begin{pmatrix} 0 \\ 90.4345 \end{pmatrix}$$

$$C = (1\ 0)$$

$$D = (0)$$

Setelah mendapatkan hasil persamaan *State Space* diatas maka selanjutnya diubah menjadi kedalam bentuk fungsi alih sehingga didapatkan hasil fungsi alih *Turret* Gun sebagai berikut.

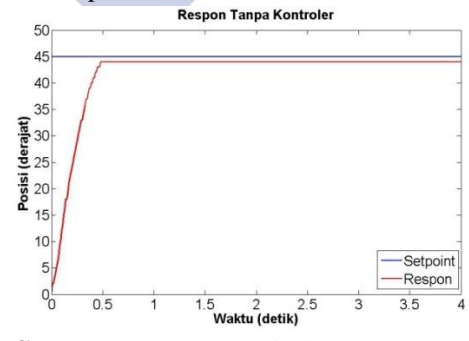
$$TF = \frac{90,4345}{15,9541s+1}$$

Model TF atau *transfer function* tersebut akan digunakan untuk mendesain kontroler PID untuk *tuning* nilai Kp, Ki, dan Kd menggunakan *first method Chien Hrones Reswick* (CHR).

Uji Sistem Gerak Turret Gun

Pengujian Respon Plant Turret Gun Tanpa Kendali

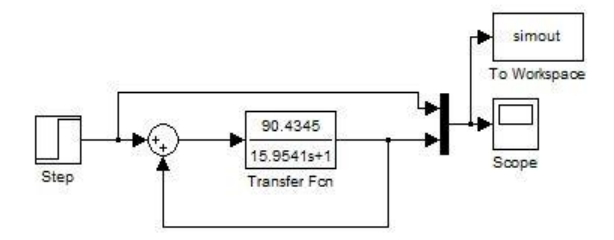
Pada pengujian ini *setpoint* yang digunakan adalah 45 derajat dan tegangan yang digunakan adalah sebesar 12V. Dimana pengujian ini dilakukan untuk melihat respon tanpa kendali. Hasil dari pengujian ini dapat dilihat pada Gambar 7. Dari hasil pengujian tersebut didapatkan *error steady state* sebesar 1 atau 2,2 % dan respon mulai bergerak naik pada detik 0,38 s.



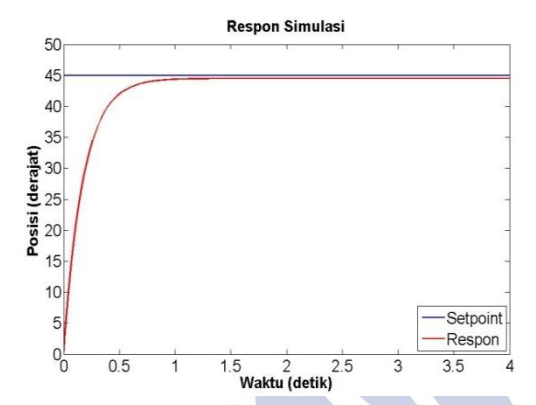
Gambar 7. Respon Real PlantTurret Gun

Pengujian Respon Plant Turret Gun Secara Simulasi

Pada hasil *transfer function* telah ditemukan fungsi alih dari *Plant Turret Gun*. Selanjutnya fungsi alih tersebut disimulasikan untuk melihat responnya. Simulasi dilakukan secara *Closed Loop* seperti yang ditunjukkan Gambar 8 dan hasil menghasilkan respon yang ditunjukkan pada Gambar 9 berikut.

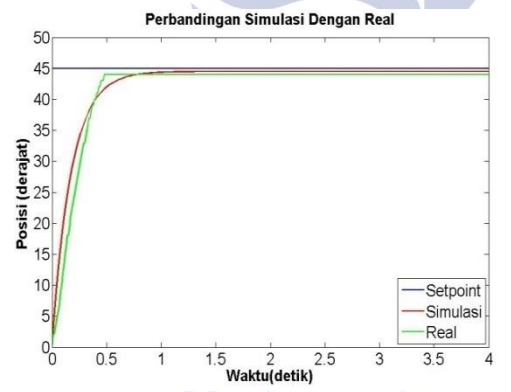


Gambar 8. *Diagram block* fungsi alih secara *Closed Loop*



Gambar 9. Respon Simulasi Closed Loop

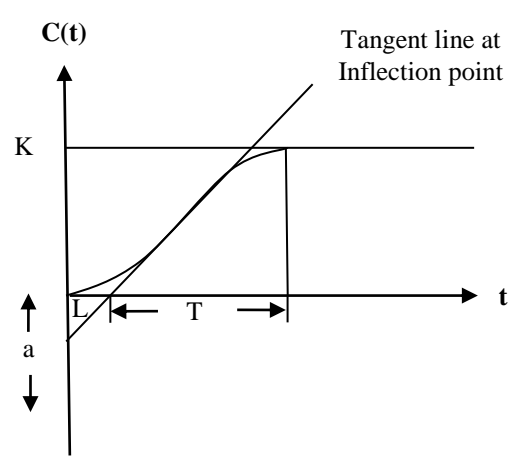
Setelah mendapatkan respon simulasi maka dapat banding kan dengan respon *Real Plant* dari *Turret Gun*. Hasil perbandingan dapat dilihat pada Gambar 10 dibawah.



Gambar 10. Hasil Perbandingan Respon simulasi dan *real plant*

Uji Sistem Kendali PID Penentuan Parameter PID

Pada penelitian ini untuk mencari parameter PID,kami menggunakan metode *Chien Hrones Reswick* (CHR). Parameter yang dibutuhkan pada metode ini yaitu time delay (L), time constant (T), dan maximum value (K). Gambar 11 berikut merupakan grafik s untuk menentukaan (L),(T) dan (K).



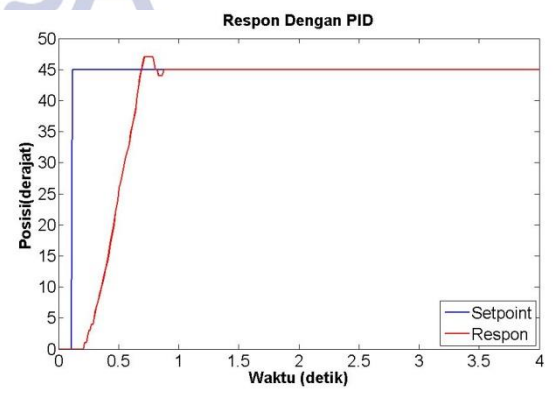
Gambar 11. Karakteristik dari respon metode CHR

Selanjutnya yaitu melakukan melakukan analisis pada Gambar 11 untuk mendapatkan parameter L, T dan K. Dan dari hasil uji coba plant didapatkan nilai L= 0,36802, T= 0,39402, dan K= 44. Sehingga nilai a= 0,02433. Setelah mendapatkan nilai L, T dan a selanjutnya mencari nilai parameter PID Kp,Ti dan Td dengan rumus First Methode Chien Hrones Reswick (CHR) 0% overshoot. Berikut tabel aturan tuning Chien Hrones Reswick (CHR) 0% overshoot.

Dari Tabel 1 tersebut maka dapat dihitung nilai kontroler PID menggunakan rumus dengan 0% *overshoot* dan didapatkan hasilnya yaitu Kp= 24,66,Ki= 62,58, dan Kd= 4,537.

Implementasi Kendali PID pada Turret Gun

Setelah mendapatkan nilai parameter PID, Selanjutnya diimplementasikan pada *real plant* yang ditujukan untuk memperbaiki memperbaiki respon dengan nilai *error stady state* sekecil mungkin atau sama dengan 0. Berikut merupakan hasil respon dengan menggunakan kendali PID ditunjukkan pada Gambar 12.



Gambar 12. Hasil Respon *Real Plant* Dengan Kendali PID

Dari Gambar 12 dapat dilihat bahwa respon kendali PID dapat mencapai *setpoint* dengan waktu yang lebih cepat. Namun masih terdapat *Overshoot* pada respon.

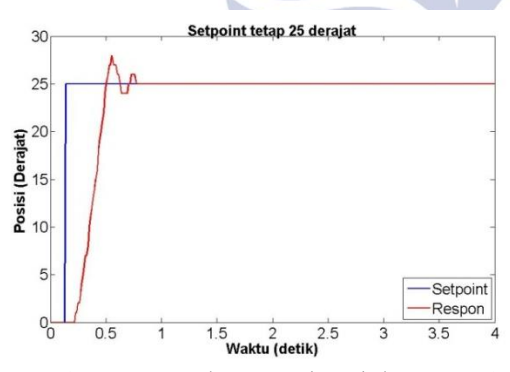
Dari hasil respon dinamik *real plant* yang didapat, dapat dianalisis untuk menunjukkan perubahan respon antara sistem *Turret Gun* tanpa kendali dengan Kendali PID dapat ditunjukkan pada Tabel berikut.

Tabel 3. Tabel Respon Dinamik Real Plant

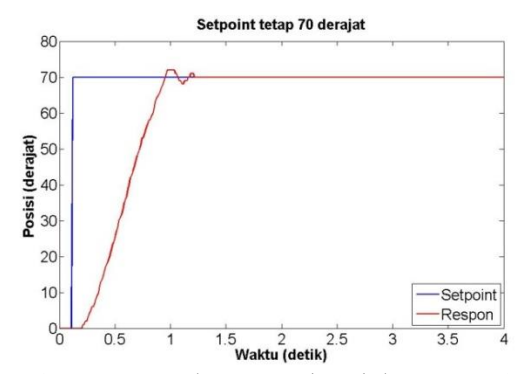
Respon Dinamik	Tanpa Kendali	Dengan Kendali PID
td	0,426 s	0,693 s
tr (5%-95%)	2,944 s	2,944 s
tr (10%-90%)	2,197 s	2,197 s
ts 5%	1,845 s	1,281 s
ts 2%	2,46 s	1,708 s
ts 0,5%	3,075	2,135 s
Ess	2,2%	0%
M0%	0%	4,4%

Pengujian dengan setpoint tetap

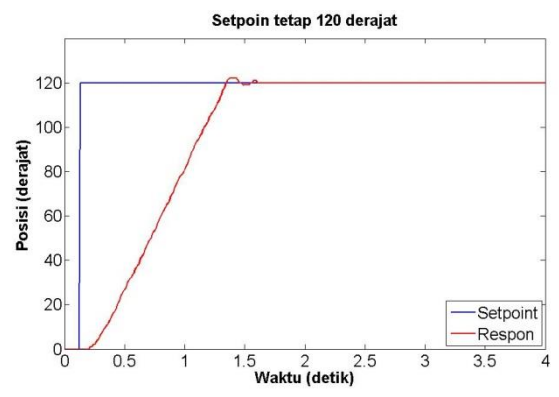
Pada pengujian ini,dilakukan pengujian dengan setpoint 25 derajat, 70 derajat dan 125 derajat. Hasil dari respon secara real plant dapat ditunjukkan pada Gambar berikut



Gambar 13. Hasil respon kendali PID *real plant* dengan *setpoint* 25 derajat



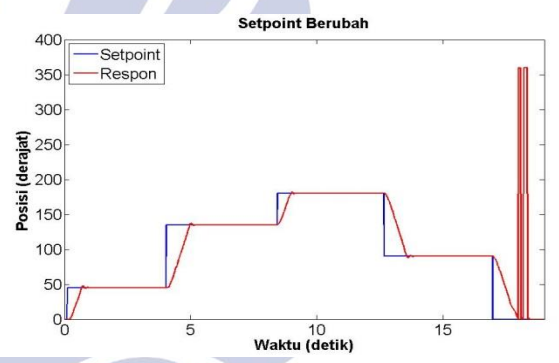
Gambar 14. Hasil respon kendali PID *real plant* dengan *setpoint* 70 derajat



Gambar 15. Hasil respon kendali PID *real plant* dengan *setpoint* 120 derajat

Pengujian dengan setpoint berubah

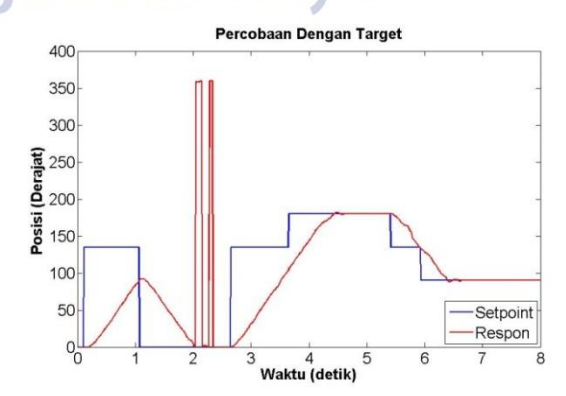
Pada pengujian ini, dilakukan dengan memberikan input *setpoint* secara bervariasi yaitu 45 derajat, 135 derajat , 180 derajat , 90 derajat dan 0 derajat dengan menggunakan kendali PID. Hasil respon dapat ditunjukkan pada Gambar berikut.



Gambar 16. Hasil respon kendali PID *real plant* dengan *setpoint* berubah

Pengujian sensor sebagai keberadaan target

Pada pengujian ini menggunakan sensor proximity yang diletakkan pada tiga titik yaitu 0 derajat, 90 derajat dan 180 derajat. Pengujian ini dilakukan dengan cara memberikan halangan pada salah satu sensor dengan jarak maksimal 30 cm. Berikut hasil pengujian sensor.



Gambar 17. Hasil respon dengan setpoint otomatis

Pada Gambar 17 dapat terlihat bahwa ketika sensor mendeteksi suatu target maka *setpoint* akan berubah sesuai pada tempat sensor aktif. Dan apabila target telah hilang atau tidak terdeteksi kembali maka *setpoint* akan kembali seperti awal pertama kali *setpoint* dimasukkan secara manual.

PENUTUP

Simpulan

Menunjuk pada Tabel 3 maka dapat disimpulkan bahwa Kendali PID dengan metode tuning *Chien-Hrones–Reswick* dirancang untuk memperbaiki *error stady state* yang terjadi pada respon tanpa kontroler dan mempercepat respon sehingga dapat mencapai *setpoint*. Dengan mengimplementasikan kendali PID pada *Turret Gun* dengan nilai Kp = 24,66, Ki = 62,58 dan Kd = 4,537 dapat memperbaiki respon dari gerak sumbu *azimuth turret gun* dengan Ess = 0, Maksimal *oveshoot* = 4,4%, t_d = 0,693 s, t_r(5%-95%) = 2,197 s,t_r(10%-90%) = 2,944 s, t_s(5%) = 1,281 s, t_s(2%)=1,708, t_s(0,5%) = 2,135.

Saran

penelitian yang telah Berdasarkan penelitian ini dapat dikembangkan menggunakan image Processing sehingga dapat mengunci target yang sedang bergerak, sudut putaran azimuth turret gun dapat ditambah menjadi 360 derajat sehingga area penembakannya dapat semakin luas, menggunakan metode kontroler vang berbeda seperti fuzzy-PID, LOR dan lain-lain, dapat menggunakan software Labview sebagai kontroler kedepannya karena pada penelitian Labview hanya digunakan untuk memonitoring hasil respon dan dapat dikembangkan menggunakan teknologi nirkabel seperti remot kontrol atau joystick sehingga dapat menggerakkan dan memonitoring turret gun dari jarak jauh.

Daftar Pustaka

Kunto, Dimas., Wahjudi, Arif., Nurhadi, Hendro. 2016. "Pera ncangan Sistem Kontrol PID Untuk Pengendalian Sumbu Elevasi Gun Pada Turret-Gun Kaliber 20mm". Jurnal Teknik ITS Vol. 5. No 2.

Mushonnifah, Siti., Subchan., Nurhadi, Hendro. 2015. "Numerical Simulation of acceleration and Force Control in Turret Gun System with Disturbance". ICAMIMIA 2015.

Publisher, Andi. 2019. "Dasar Sistem Kontrol Dengan Matlab". (https://books.google.co.id/). Diakses Pada 25 Mei.

Tamara, Mohamad Nasyir., Pramuji,Bambang., Nurhadi,Hendro.Pitowo,Endra.2018."Simulas i Dan Eksperimen Kontrol Automatic Turret Gun". Jurnal ELTEK, Vol. 16,No 1. April.

Wisnu, Danu., Wahjudi, Arif., Nurhadi, Hendro. 2016. "Perancangan Sistem Kontrol PID Untuk Pengendalian Sumbu Azimuth Turret Pada Turret-Gun Kaliber 20mm". Jurnal Teknik ITS Vol. 5, No 2.

